

استخدام مطيافية الأشعة فوق البنفسجية والمرئية لتقدير المضادات الإحيائية- البيتا لاكتام- في بعض الأدوية

فاضل جاسم محمد^{*} مني محمود خضرير^{**} قيس محمد علي^{**} نضال عبد عيسى^{*}
انتصار كاظم منسي^{*} عمار سلمان^{**} احمد موسى

تاریخ قبول النشر 1/3/2010

الخلاصة

تم تقدير الأدوية السيفالكسين والسيفترايكسون بتفاعلها مع كلوريد الحديديك بوجود الكاشف $K_3[Fe(CN)_6]$ في المحيط الحامضي وتكوين الزرقة البروسية لتقديرها بمطيافية امتصاص الأشعة فوق البنفسجية والمرئية عند مدى الأطوال الموجية (700-720) نانومتر. وتمت دراسة الظروف التجريبية المثلى في تقدير الأدوية مثل حامض الهيدروكلوريك والكاشف $K_3[Fe(CN)_6]$ و كلوريد الحديديك ودرجة حرارة الفاعل و زمن التفاعل . وبلغت مدارات التركيز في تعين الأدوية (0.5-10)، (7-1) مايكروغرام.مل⁻¹ في حين بلغت حدود الكشف (0.0330,0.0601)، (0.0330,0.0601) مايكروغرام.مل⁻¹ للأدوية السيفالكسين والسيفترايكسون على التوالي. وتم تعين الأدوية السيفالكسين والسيفترايكسون في المستحضرات الصيدلانية الآتية Gramocef-Cephalexin اضافات القياس وكانت نتيجة التقدير مقاربة لكمية المثبتة اصلا على عبوة الدواء وبلغت النسبة المئوية للاستر داديه وللأدوية السيفالكسين والسيفترايكسون على التوالي (93.27% 103.50%).
كلمات مفتاحية : الزرق البروسية ، السيفالسبورينات، مطيافية الأشعة فوق البنفسجية والمرئية، السيفالكسين، السيفترايكسون.

المقدمة

زيادة نموها وكما تستعمل في القضاء على الطفيليات المعدوية الموجودة في الإنسان والحيوان.
تعد المضادات الإحيائية-بيتا لاكتام(4) من اهم اصناف المضادات الحيوية المستعملة لعلاج الامراض المععدية وتشمل عدداً كبيراً من المركبات الاحيائية على حلقة بيتا لاكتام الرابعة الذرات تتمثل هذه المضادات على تثبيط تكوين جدار خلية البكتيريا ان فعالية المضادات الإحيائية-بيتا لاكتام (7-5) تعتمد على الاسيلة الانقاذية التي تؤدي الى تثبيط عمل انزيم انتقال السلسلة البتيدية الضروري لتكوين جدار الخلية البكتيرية.
وتتمثل السيفالسبورينات(4) مجموعة كبيرة من مضادات البيتا لاكتام الاحيائية على حلقة بيتا لاكتام الرابعة الذرات المتلهمة من خلال ذرتي التتروجين والكاربون الى حلقة سداسية غير متجانسة مكونة حلقة تسمى Dihydrothiazine، من الملامح الاساسية الشائعة لدى السيفالسبورينات وجود مجموعة الكاربوكسيل على حلقة Dihydrothiazene على الكاربون القربيه من تتروجين الحلقة ووجود مجموعة الامين الفعالة على كاربون رقم 7، تشبه السيفالسبورينات المضادات الإحيائية-بيتا لاكتام من حيث ميكانيكية العمل اذ تقوم بتثبيط تكوين جدار خلية البكتيريا مما يجعلها تستعمل لعلاج الامراض الناتجة عن البكتيريا، تتميز السيفالسبورينات بالفعالية العالية والسمية القليلة.

المضادات الاحيائية مواد كيميائية تنتج من الاحياء المجهرية والانسانية الحية الاخرى لها القابلية على تثبيط نمو البكتيريا والاحياء المجهرية حتى وان كانت بتركيز قليلة تتميز المضادات الاحيائية بصفتين اساسيتين مما فاعلتها الحياتية العالية داخل جسم الكائن الحي والسمية القليلة ف تكون مؤهلة لعلاج الامراض المعدية(2)، وتحتفظ المضادات الاحيائية في التركيب الكيميائي لها ويتوافق مدى الاوزان الجزيئية (100 - 13000)غم/مول وغالباً ما يكون ضمن المدى من (300 - 800)غم/مول.
تنتج المضادات الاحيائية من احياء مجهرية عديدة مثل Algae,Bacteria,Fungi,Antinomycetes، تعمل المضادات الاحيائية بmekanikيات مختلفة(3) اذ يقوم عدد كبير منها بتثبيط تكوين جدار خلية البكتيريا وبعضاً يقوم بتثبيط تكوين البروتين والقسم الآخر يقوم بتثبيط عمل الغشاء السايتوبلازمي ،اما الصنف الاخير فيتضمن تثبيط تكوين الاحضان النوروية RNA,DNA.
تنتمي المضادات الاحيائية(4) باستعمالات واسعة منها علاج الالتهابات الناتجة عن البكتيريا وعلاج الاورام السرطانية وعلاج السل والجدام وعلاج الامراض الناتجة عن الفطريات وعلاج الامراض الناتجة عن الفيروسات ولها استعمالات واسعة ومتنوعة مثل مضادات لأطمة الحيوانات لغرض

* وزارة التعليم العالي والبحث العلمي/جامعة بغداد/كلية العلوم/قسم الكيمياء
** وزارة العلوم والتكنولوجيا/دائرة بحوث الكيمياء والصناعات البترول كيميائية

وتصنف الزرقة البروسية من معقدات انتقال الشحنة وذلك لنشوء لونه المصاجحة لطاقة انتقال الالكترونات من الحديد الثنائي إلى الحديد الثلاثي ومثل هذه المعقدات تمتض الصورة في المنطقة المرئية(20).

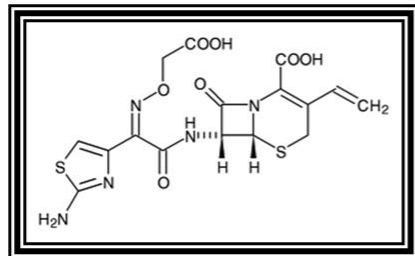
وبالرغم من وجود مجاميع السيفالسين في الزرقة البروسية إلا أنه غير سام وذلك لأن مجاميع السيفالسين مرتبطة بقوة وان تفاعلها مع الحامض يحرر سيانيد الهيدروجين السام جداً(20).

تبرز أهمية الزرقة البروسية بشكل كبير في مجال صناعة الأصباغ والاحبار وتلوين المبيدات الحشرية وتتوظف بشكل واسع في مجال الطب لتخلص الجسم من السبيزنيوم المش المستخدم في علاج اغلب الامراض السرطانية وتستخدم ايضاً في علاج حالات التسمم بالثاليوم لطرحه خارج الجسم بميكانيكية التبادل الايوني(21).

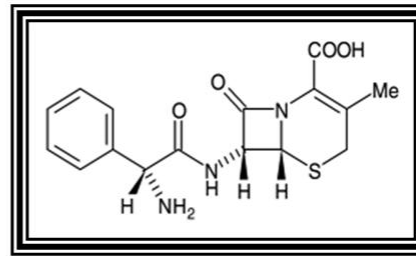
استغلت هذه التفاعلات (تفاعلات انتقال الشحنة) في الكشف النوعي عن الحديد ثم تقديره كمياً في النظام والأنسجة الحياتية الأخرى كذلك في تقدير بعض المستحضرات الصيدلانية مثل الإيبسيلين والأموكسيلين(23) بسبب قدرتها على اختزال ايون الحديد الثنائي إلى ايون الحديد الثنائي يوجد سدايسى سيانو حبيبات البوتاسيوم فيتتج عن ذلك متصمية اعظم عن الطول الموجي ضمن المدى (700 الى 765 نانومتر).

ويوجد اكثراً من خمسين مركباً من مشتقات السيفالسينات التي لها تطبيقات طبية واسعة، يمكن تصنيف السيفالسينات على وفق التركيب الكيمياوي او المدى الطيفي او الاستعمال الصيدلاني وغيرها لكن التصنيف المهم الذي يعتمد عليه هو مدى التضادية لأنواع البكتيريا(8).

وهناك العديد من الطرائق الطيفية (13-9) (15,14) المستخدمة في تقدير بعض السيفالسينات. ولقد استخدمت طرائق الفصل الكروموموغرافية(16-18) لفصل وتقدير بعض المضادات الاحيائية بينا لاكتام وفي البحث الحالي تم التركيز والاستفادة من معقد انتقال الشحنة وهو الزرقة البروسية لتقدير بعض المضادات الاحيائية- بينما لاكتام مثل السيفالكسين والسيفترابكسون باستخدام تقنية امتصاص الاشعة فوق البنفسجية والمرئية. تعتبر الزرقة البروسية Prussian Blue (وتسمى أيضاً زرقة الحديد السينائية Cyanide Iron Blue) واحدة من اقدم المواد التي استعملت في صناعة الأصباغ اللاعضوية وحضرت لأول مرة في برلين عام 1706، فهي تحتوي على الايون السالب $[Fe(Fe(CN)_6)]$ الذي ينافس مع الايونات الموجة مثل الصوديوم والبوتاسيوم والامونيوم(19).



سيفترابكسون



سيفالكسين

الجزء العللي
أ- الاجهزه والماده الكيمياوية
مطياف الأشعة فوق البنفسجية-المرئية من النوع UV-Visible Spectrophotometer (Shimadzu) المزود بخلايا مصنوعة من السليكا بطول 2 سم ويبين الجدول (1)الماده الكيمياوية المستخدمة.

وبناءً على ما تقدم تمت الاستفادة من معقد الزرقة البروسية لتقدير بعض المضادات الاحيائية بينما لاكتام مثل السيفالكسين والسيفترابكسون باستخدام تقنية امتصاص الاشعة فوق البنفسجية والمرئية.

الجدول (1)الماده الكيمياوية ومواصفاتها والجهة المصنعة لها

الرتبة	اسم المادة ومواصفاتها	الجهة المصنعة
1	Hydrochloric Acid, HCl, 35%, M.W. 36.46 g/mol	
2	Ferric Chloride, FeCl ₃ , 96.8%, M.W. 162.22 g/mol	BDH
	Potassium Ferricyanide, K ₃ [Fe(CN) ₆], 99%, M.W. 329.00 g/mol	BDH
4	Cephalexin ST.Material	SDI
5	Cephalexin, (250)mg Cephalexin	Iraq
6	Ceftriaxone ST.Material	SDI
7	Gramoccef,(1000)mg Ceftriaxone	India

(1.25) مل من الكاشف $K_3[Fe(CN)_6]$ ذي التركيز (0.001M) وضبطت الظروف العملية الأخرى وبعد انتهاء التفاعل تم التخفيف بالماء وقياس درجة حجمي سعة (5) مل إلى العلامة وقياس المتصاصية في كل مرة بمقاييس طيف الامتصاص الجزيئي ورسمت منحنيات المعايرة لكل دواء وتم دراسة الظروف العملية المثلثي في تقدير الأدوية السيفالكسين والسيفترایکسون عن طريق تكوين الزرقة البروسية وهي حجم حامض الهيدروكلوريك وتركيز محلول الكاشف $K_3[Fe(CN)_6]$ و تركيز محلول كلوريد الحديديك ودرجة الحرارة و زمن التفاعل وتسلسل الإضافات. وقد تم تعين الأدوية في بعض مستحضراتها الصيدلانية بالطريقة المباشرة وطريقة إضافات القياس.

النتائج والمناقشة

تم في البحث تقدير الأدوية السيفالكسين والسيفترایکسون عن طريق تكوين معقد انتقال الشحنة وذلك لاستجابة الواضحة للتفاعل واللون المميز للناتج لذا تم استغلال هذا التفاعل من الناحية التحليلية باستعمال مطيافية الامتصاص الجزيئي. إن تكوين عقد الزرقة البروسية يتم بأربع خطوات وهي كالتالي:-
تضمن الخطوة الأولى التحلل المائي بفعل الحرارة للمضادات الاحيائية بيتالاكتام المستخدمة في هذه الدراسة وكما موضح بـ:-

ب - تحضير المحاليل

1- تحضير محلول الدواء بتراكيز 1000 جزء بالمليون، 100 جزء بالمليون، 25 جزء بالمليون

تم اخذ 0.1 غم من الدواء وأذابته بالماء وتخفيفه إلى 100 مل بدورق حجمي وسحب منه 10 مل وتخفيفه إلى 100 مل بدورق حجمي واخذ من محلول الاخير 25 مل بدورق حجمي

2- تحضير محلول كلوريد الحديديك بتراكيز 0.01 مولاري، 0.002 مولاري

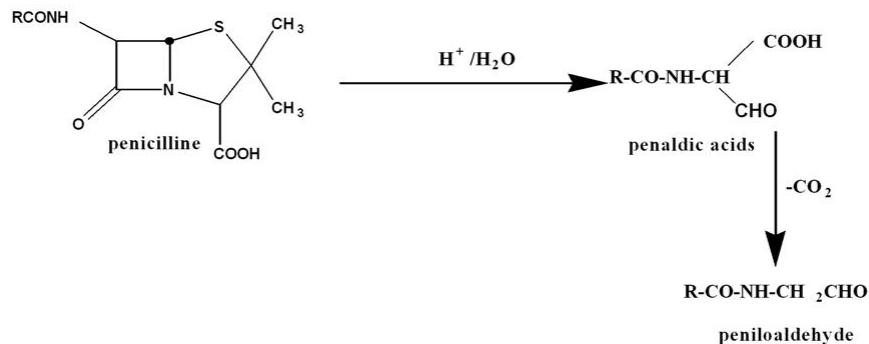
تم اذابة 0.1622 غم من كلوريد الحديديك بالماء وتخفيفه إلى 100 مل بدورق حجمي وسحب منه 20 مل وتم تخفيفه إلى 100 مل بدورق حجمي .

3- تحضير محلول سداسي سيانو حديقات البوتاسيوم بتراكيز 0.01 مولاري، 0.001 مولاري

تم اذابة 0.3260 غم من سداسي سيانو حديقات البوتاسيوم بالماء وتخفيفه إلى 100 مل بدورق حجمي وسحب منه 10 مل وتم تخفيفه إلى 100 مل بدورق حجمي .

ج - طريقة العمل

نلت حجوم تتراوح (0.1-1.8) مل من السيفالكسين ، (0.1-0.1) مل من السيفترایکسون، بتراكيز (25) جزء بالمليون لكل منها إلى أنابيب اختبار ثم أضيف إلى كل منها السيفترایکسون و السيفالكسين 0.2 مل و 0.1 مل من حامض الهيدروكلوريك المخفف ذي التركيز (0.1M) وأضيف إلى كل منها (1.25) مل من محلول كلوريد الحديديك ذي التركيز (0.002M) و

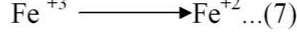


وفي الخطوة الرابعة تكوين الزرقة البروسية

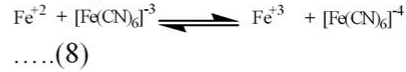


يبين الشكل (1) طيف المعقد الناتج من تفاعل الأدوية السيفالكسين والسيفترایکسون مع كلوريد الحديديك وسداسي سيانو حديقات (2) البوتاسيوم بوجود حامض الهيدروكلوريك وتم القياس مقابل

أما الخطوة الثانية فهي اختزال الحديد الثلاثي إلى الحديد الثنائي بوساطة نواتج التحلل المائي للمضادات الاحيائية بينما لاكتام

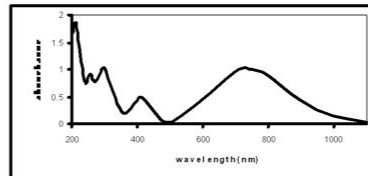


والخطوة الثالثة اكسدة الحديد الثنائي

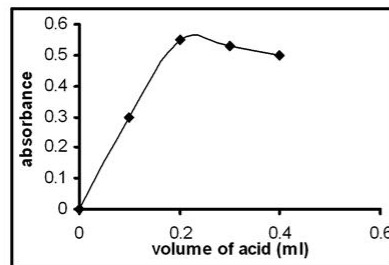


١- دراسة الظروف المثلى لتكوين معقد الزرقة البروسية
أولاً- تأثير حامض الهيدروكلوريك
 تبين الاشكال أدناه قيم ممتصصية المعقد الناتج من تفاعل الأدوية مع كلوريد الحديديك وسداسي سيانو حديديات(3) البوتاسيوم مع تغيير حجم حامض الهيدروكلوريك من (0.5-0.1) مل ذي التركيز (0.1) ملولياري وتم القياس مقابل محلول خلب كمرجع ووجد ان افضل حجم هو (0.1) مل لكل من الأدوية المدروسة.

الماء كمرجع وتكون معقد جديد مع الأدوية بلون ازرق مخضر وذلك من خلال ظهور قمة جديدة عند مدى الاطوال الموجية (700-720) نانوم.

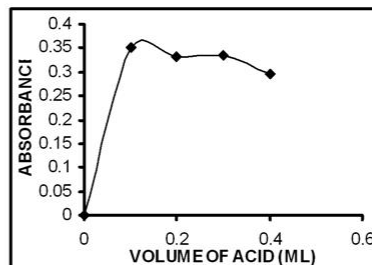


الشكل (1) طيف الامتصاص الاشعة فوق البنفسجية والمرئية لمعقد انتقال الشحنة وهو الزرقة البروسية



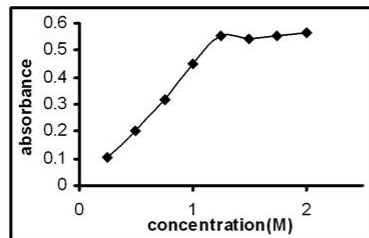
الشكل (3) تأثير حجم حامض الهيدروكلوريك في تقيير Ceftriaxone بتكوين الزرقة البروسية

محلول سداسي سيانو حديديات(3) البوتاسيوم ذي التركيز (0.001) ملولياري بين (0.2-0.25) مل وتم القياس مقابل محلول خلب كمرجع، ويلاحظ أن أفضل حجم هو (0.125) مل الذي يعطي أعلى ممتصصية بعدها يبدأ المنحنى بالانحراف تجاه احداثي التركيز .



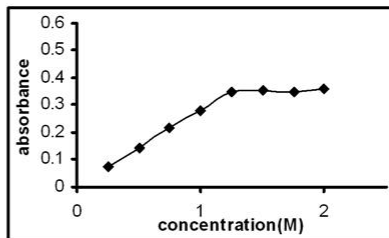
الشكل (2) تأثير حجم حامض الهيدروكلوريك في تقيير Cephalexin بتكوين الزرقة البروسية

ثانياً- تأثير تركيز سداسي سيانو حديديات(3) البوتاسيوم
 تبين الاشكال أدناه تأثير تركيز قيم ممتصصيات للمعقدات الناتجة من تفاعل الأدوية السيفالاكسين والسفتراءيسكون على التوالي مع كلوريد الحديديك و حامض الهيدروكلوريك المخفف مع تغيير حجم



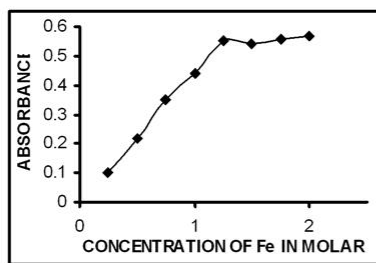
الشكل (5) تأثير تركيز $K_3[Fe(CN)_6]$ في تقيير Ceftriaxone بتكوين الزرقة البروسية

كلوريد الحديديك ذي التركيز (0.002) ملولياري بين (0.2-0.25) مل وتم القياس مقابل محلول خلب كمرجع، ويلاحظ أن أفضل تركيز هو (0.125) مل الذي يعطي أعلى ممتصصية بعدها يبدأ المنحنى بالانحراف تجاه احداثي التركيز .

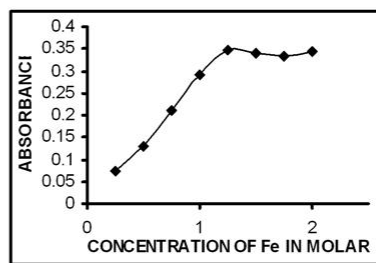


الشكل (4) تأثير تركيز $K_3[Fe(CN)_6$ في تقيير Cephalexin بتكوين الزرقة البروسية

ثالثاً- تأثير تركيز كلوريد الحديديك
 تبين الاشكال تأثير تركيز قيم ممتصصيات للمعقدات الناتجة من تفاعل الأدوية مع سداسي سيانو حديديات(3) البوتاسيوم و حامض الهيدروكلوريك المخفف مع تغيير حجم محلول

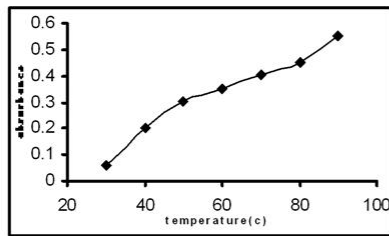


الشكل (7) تأثير تركيز FeCl_3 في تقدير بكتوين الزرقة البروسية Ceftriaxone



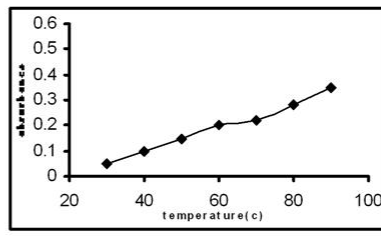
الشكل (6) تأثير تركيز FeCl_3 في تقدير بكتوين الزرقة البروسية Cephalexin

للتفاعل ، إذ تم تثبيت درجة الحرارة عند (90) م° لسهولة الحصول عليها باستعمال حمام مائي والممتضية العالية للمعقات عند هذه الدرجة . ولم تدرس الدرجات الحرارية العالية ل susceptibility السيفالكسين والسفتراءكسون على التوالي بتكوين الزرقة البروسية مع تثبيت الظروف العملية الأخرى



الشكل (9) تأثير درجة الحرارة في تقدير بكتوين الزرقة البروسية Ceftriaxone

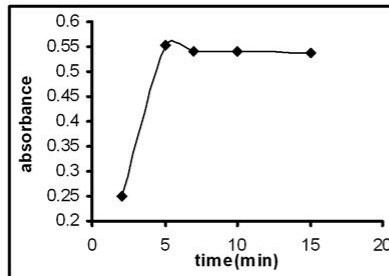
رابعا- تأثير درجة الحرارة
ترتداد إمتصاصية المعقدات الناتجة بزيادة درجة الحرارة كما مبين في الأشكال أدناه التي توضح تأثير درجة الحرارة لتقدير السيفالكسين والسفتراءكسون على التوالي بتكوين الزرقة البروسية مع تثبيت الظروف العملية الأخرى



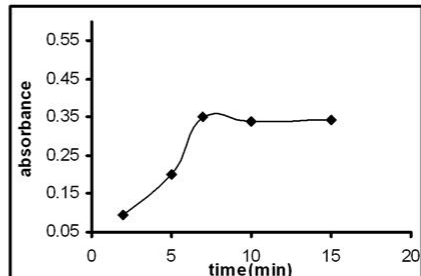
الشكل (8) تأثير درجة الحرارة في تقدير بكتوين الزرقة البروسية Cephalexin

السيفالكسين والسفتراءكسون على التوالي نجد أن الزمن المناسب لإتمام التفاعل هو (5) دقيقة للسفتراءكسون ، (7) دقيقة للسيفالكسين لتكوين الزرقة البروسية .

خامسا- تأثير زمن التفاعل
تم تثبيت درجة حرارة التفاعل عند (90) م° ودرس زمن التفاعل عند هذه الدرجة بمدى يتراوح من (2 - 15) دقيقة، ومن ملاحظة الأشكال أدناه التي توضح تأثير زمن التفاعل لتقدير

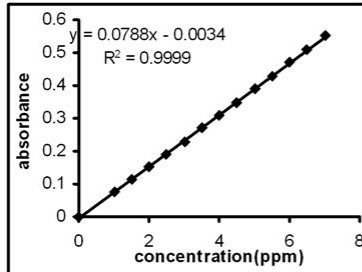


الشكل (11) تأثير زمن التفاعل في تقدير بكتوين الزرقة البروسية Ceftriaxone



الشكل (10) تأثير زمن التفاعل في تقدير بكتوين الزرقة البروسية Cephalexin

2- منحنيات المعايرة المباشرة
 تبين الأشكال (12)،(13) منحنيات المعايرة المباشرة لكل من السيفالكسين والسيفترإيسون لتكونين معقد الزرقة البروسية على التوالى. ورسمت المنحنيات بأخذ المتصاصية للمعققات مقابل تركيز الدواء ووجد أن أقصى تركيز يطبع قانون بير هو (10) ميكروغرام/مل¹ للسيفالكسين (7).
 مایکروغرام/مل¹ للسیفتراکسون بعد هذہ التراکیز تبدأ المنحنیات بالانحراف تجاه احداثی التراکیز ويعود سبب ذلك إلى التأثير بين جزيئات المعقد بعضها مع البعض أو يعود إلى عوامل آلية أو نتيجة تكون بعض البوليمرات عند زيادة تركيز الدواء التي تعطي بالنتيجة امتصاصية واطنة تسبب انحراف هذه المنحنيات.

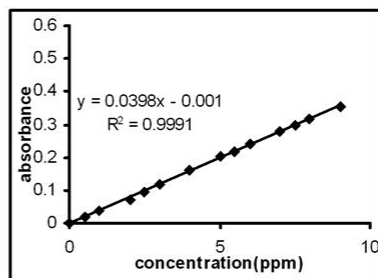


الشكل (13) منحنى المعايرة المباشرة لتقدير Ceftriaxone بتكون الزرقة البروسية

السادس- تأثير تسلسل الإضافات
 يبين الجدول (2) تأثير تسلسل المضافات في شدة امتصاص، إذ أن D يمثل الدواء، H ، الحامض ، F يمثل محلول كلوريد الحديديك ، R يمثل الكاشف [K₃[Fe(CN)₆] ومن ملاحظة الجدول تم التوصل إلى إن التفاعل تم بأربع خطوات كما مر سابقاً.

الجدول رقم (2) تأثير تسلسل المضافات في شدة امتصاص المعقد المتكوين

Order of addition	Cephalexin	Ceftriaxone
D+H+F+R	0.352	0.551
D+F+R+H	0.152	0.231
D+H+R+F	0.320	0.521
D+R+F+H	0.173	0.252



الشكل (12) منحنى المعايرة المباشرة لتقدير Cephalexin بتكون الزرقة البروسية

والسيفترإيسون بعد تكوين معقدات انتقال الشحنة يوجد سادسي سيانيد حبيبات (2) البوتاسيوم وكloride الحديديك.

3- المعطيات التحليلية الإحصائية
 يبين الجدول (3) مدى التراكيز التي ينطبق عليها قانون بير على وفق منحنى المعايرة المباشرة وحد الكشف لتعيين الأدوية السيفالكسين

الجدول (3) خطية التراكيز وحدود الكثفين النظري والعملي لتعيين الأدوية السيفالكسين والسيفترإيسون بعد تكوين معقدات انتقال الشحنة بوجود سادسي سيانيد حبيبات (2) البوتاسيوم وكloride الحديديك.

Name of drug	Linear-ity ($\mu\text{g/ml}$)	D.L. ($\mu\text{g/ml}$)	D.L.T. ($\mu\text{g/ml}$)	S ($\mu\text{g/ml}$)	Conf.Limit. Conce. ($\mu\text{g/ml}$) 95%.C.I	Conf.L-limit.Abs. 95%.C.I	ϵ (L mol ⁻¹ .cm ⁻¹) $\times 10^3$
Ceph.	0.5-10	0.0601	0.2790	0.0240	5.5235 ± 0.0394	0.2187 ± 0.0014	15.2006
Ceft.	1-7	0.0330	0.0789	0.1736	3.4884 ± 0.0475	0.2715 ± 0.003	3.8136

ويبين الجدول (4) معادلة الخط المستقيم ومعامل الارتباط والفحص-(t) ذي الجانبين وحدود الثقة للميل ونقطة التقاطع عند مستوى ثقة (%95).

الجدول (4) معادلة الخط المستقيم ومعامل الارتباط (r) والفحص (t) ذي الجانبين وحدود الثقة للميل ونقطة التقاطع عند حدود ثقة %95

Name of drug	Regr.eq. Y=Bx+A	Corr. coef. (r)	t-test Statistic	Tabulat-ed t-test two tailed %95 C.I.	Conf. for the slope b \pm t s _b limit	Conf. for the intercept a \pm t s _a limit
Ceph.	Y=0.0397x -0.0009	0.9995	109.5007	2.1790	0.0397 \pm 0.0007	-0.0009 \pm 0.0039
Ceft.	Y=0.0787x -0.0033	0.9999	244.9250	2.1790	0.0787 \pm 0.0005	-0.0033 \pm 0.0024

الانحراف القياسي المئوي (%RSD) والخطأ النسبي المئوي (%Erel) والإسترadianية (%Rec) لتعيين الأدوية السيفالكسين والسيفرايسون.

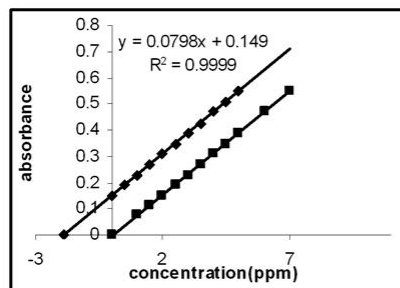
ومن ملاحظة قيم (t -t) المحسوبة ومقارنتها مع القيمة المجدولة في الجدول السابق نجد أن المحسوبة أعلى قيمة وهذا يشير إلى وجود علاقة بين المتغيرين X,Y . ويبين الجدول (5).

الجدول (5) الانحراف القياسي النسبي المئوي والاسترadianية للأدوية

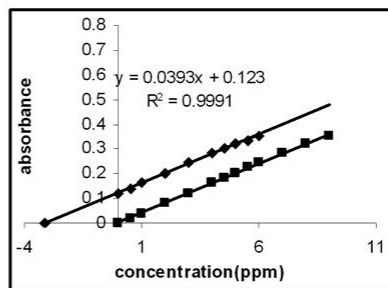
Name of drug	Amount taken ($\mu\text{g/ml}$)	Amount found ($\mu\text{g/ml}$)	%Re-cov.	%Er-el.	%RSD (n=3)	Mean %Rec-ov.	Mean %Erel.
Cephalexin	3	3.1200	104.00	4.0000	0.4599	104.5000 \pm 0.5000	+4.5000
	5	5.2500	105.00	5.0000	0.8787		
	6	6.2700	104.50	4.5000	1.5421		
Ceftriaxone	2	2.0200	101.00	1.0000	0.6672	101.6000 \pm 0.6000	+1.6000
	4	4.0640	101.60	1.6000	0.9989		
	5	5.1100	102.20	2.2000	1.4271		

ويتضمن قياس الامتصاصية للمعدن الناتج بتراكيز عديدة من الدواء بعد إضافة تركيز معين من المستحضر واستخراج التركيز وتبين الأشكال (14)(15) منحنيات المعايرة لنقير الأدوية السيفالكسين والسيفرايسون في بعض مستحضراتها الصيدلانية بالطريقة المباشرة وبطريقة إضافات القياس بعد تفاعلها لتكوين الزرقة البروسية بمطيافية الامتصاص الجزيئي

4- تعيين الأدوية السيفالكسين والسيفرايسون في بعض مستحضراتها الصيدلانية تم اتباع أسلوبين لتعيين الأدوية السيفالكسين والسيفرايسون في بعض مستحضراتها الصيدلانية يتضمن الأسلوب الأول قياس الامتصاصية للمحلول الناتج بتراكيز عدة من المستحضر واستخراج التركيز من منحنى المعايرة المباشرة أما الأسلوب الآخر فهو إضافات القياس



الشكل (15) تعيين (15) لـ Ceftriaxone في المستحضر الصيدلاني Gramocef بطريقة Gramocef بطيقة UV-Vis. إضافات القياس وبمطيافية UV-Vis.



الشكل (14) تعيين Cephalexin في المستحضر الصيدلاني Cephalexin بطريقة Cephalexin بطيقة UV-Vis. إضافات القياس وبمطيافية UV-Vis.

ويبين الجدول (6) نتائج تعيين الأدوية طيفيا في مستحضراتها الصيدلانية بتفاعل تكوين الزرقة البروسية بالأسلوب المباشر وإضافات القياس .

الجدول(6) نتائج تعيين الأدوية طيفيا في مستحضراتها الصيدلانية بتفاعل تكوين الزرقة البروسية بالأسلوب المباشر وإضافات القياس .

Name of drug	Type of preparation	Stated concentration (mg per unit)	Found direct calb (mg per unit)	%Eer	Found st.add. calb. (mg per unit)	%Erel
Ceph.	tablet	250	261.25	+4.50	258.75	+3.50
Ceftr.	vial	1000	1040	+4.00	932.66	-6.73

القياس (XE) عند حدود ثقة 95% (كما موضح في الجدول (7)).

وتحسبت معادلة الخط المستقيم لمنحنى إضافات القياس والميل ونقطة التقاطع والفحص ($t-t$) ذي الجانبين وقيمة التركيز المحسوب بطريقة إضافات

الجدول (7) معادلة الخط المستقيم ومعامل الارتباط (r) والفحص (-t) ذي الجانبين وقيمة التركيز (XE) المحسوب بطريقة إضافات القياس عند حدود ثقة 95% عند مدى الأطوال الموجية (700-720 نانومتر) للمستحضرات الصيدلانية

Name of drug	Regr.eq. Y=Bx+A	Corr. coef. (r)	t-test	Tabulated t-test two tailed %95 C.I.	Conf. for x-value $X_F \pm ts X_F$	%Re-cov.	%Ee-rl.
Ceph.	0.0393x +0.1220	0.9992	82.8650	2.2010	3.1056± 0.1789	103.52	3.5229
Ceftr.	0.0798x +0.1489	0.9999	212.1161	2.2620	1.8657± 0.0419	93.28	6.7124

ونسبة الاسترداد المئوي (%Reco) والخط النسبي المئوي (%Erel) لتعيين المستحضرات الصيدلانية بطريقة إضافات القياس.

ويلاحظ أن ميل منحنى إضافات القياس للأدوية موافز لمنحنى المعايرة المباشرة وهذه إشارة إلى عدم وجود تداخلات متشابهة. أما الجدول (8) فيوضح الانحراف القياسي المئوي النسبي (%RSD)

الجدول (8) الانحراف القياسي النسبي المئوي والاستردادية والخط النسبي المئوي لتعيين الأدوية في مستحضراتها الصيدلانية طيفياً عند الأطوال الموجية (700-720 نانومتر) بطريقة إضافات القياس

Name of drug	Amou-nt (taken µg/ml)	Amount (found µg/ml)	%Re-cov.	%Erel.	%R-SD (n=3)	Mean %Reco.	Mean %Erel.
Cephalexin	3	3.0960	103.20	3.2000	0.8959	103.50± 0.30	+3.5000
	5	5.1750	103.50	3.5000	0.7121		
	6	6.2280	103.80	3.8000	1.3210		
Ceftriaxone	2	2.8740	93.70	6.3000	0.8710	93.27± 0.40	-6.7333
	4	3.7240	93.10	6.9000	0.4321		
	5	4.6500	93.00	7.0000	1.3201		

Waring J., "The Molecular Bases of Antibiotic Action", 2nd ed., John Wiley&Sons, Inc., New York, 1981.

4. Krik and Othmer, "Encyclopedia of Chemical Technology", 2nd ed., John Wiley & Sons Inc., New York ,vol. 3 ,p. 1-250, 1992.
5. Richmond M. , Salton M. , and Shockman G.D. , "β-Lactam Antibiotics", Press,New York, p. 261-274,1981.
6. Medeiros A.A. ,Jacoby G.A. , Queener S.F. ,Webber J.A.,and Queener S.W. , "Clinical Pharmacology 4,β -Lactam Antibiotics for Clinical Use" ,Marcel Dekker Inc., New York, p.49-84 ,1986.
7. Georgopapadakou N.H. and Sykes R.B. , "Antibiotics Containing the β -Lactam Structure", part 2,Springer-Verlag, New York ,p.1-78 ,1983.

الاستنتاجات
-1 تم استخدام تفاعل تكوين الزرقة البروسية لتقدير الأدوية السيفاكلين والسيفرايكرون بطريقة تتصف بالدقة والحساسية والسرعة والحدود الكشفية الواطنة بمطابقية الامتصاص الجزيئي.
-2 أظهرت بعض المضادات الاحيائية- بيتا لاكتام استجابة عالية لتكوين معقدات انتقال الشحنة ومن ضمنها الزرقة البروسية .

المصادر:

1. DeVoe S.E., Storms M. ,and Haraki K., "Antibiotics Properties and Structures Data Base",Maintained at the Medical Research Division American Cyanamid Co.,Pearl River,1990.
2. Higton A.A. and Roberts A.D., "Dictionary of Antibiotics and Related Substances", Chapman and Hall,New York,1988.
3. Gale E.F., Cundliffe E.,Reynolds P.E., Richmond M.H., and

- liquid chromatography method for analysis of amoxicillin ,metronidazole and pantoprazole in human plasma using solid phase extraction, *J. Liq. Chromatogr. Relat.Technol.*,25 (16),2433-2443,2002.
17. De Baere S.,Charlet M.Baert K.De Backer P., Quantitative analysis of amoxicillin and its major metabolites in animal tissues by liquid chromatography combined with electrospray ionization tandem mass spectrometry ,*Chromatographia*,53(7-8),367-371,2001.
18. Gamba V. and Dusi G., Liquid chromatography with fluorescence detection of amoxicillin and ampicillin in feeds using pre-column derivatization ,*Anal .Chim.Acta* ,483(1-2):69-72,2003.
19. Bartoll J.,Jackisch B.,Most M.,Wenders E. and Vogtherr,Early Prussian Blue and green pigments in the paintings by Watteau,Lancret and Pater in the collection of Frederick 2 of Prussia In:TECHNE 25,39-46,2007.
20. Dunbar K.R. and Heintz R.A.,Chemistry of Transition Metal Cyanide Compounds: Modern Perspectives, Progress in Inorganic Chemistry,45,283-391,1997.
21. Kasper D.L.,Braunwald E.,Fauci A.S.,Hauser S.L., Longo D.L., and Jameson J.L.,"Harrison's Principles of Internal Medicine"16th Edition,McGraw-Hill Companies,2005.
22. Farhadi K.,Ghaddamgahi S., Maleki R.,and Asgari F., Spectrophotometric determination of selected antibiotics using Prussian Blue reaction, *J.C.C.S.*, Vol.49(No.6),2002.
8. Mandell G.L., Douglas R.G. ,and Bennett J.E., "Anti- infective Therapy", John Wiley & Sons,Inc.,New York,1985, pp. 76.
9. Buhl F. and Szpikowska-Sroka, Spectrophotometric determination of cephalosporins with leuco crystal violet ,*Chem.Anal.*, 48(1), 145-149 ,2003.
10. Fernandez-Gonzalez, Badia R., and Diaz-Garcia, Micelle – mediated spectrofluorimetric determination of ampicillin based on metal ion-catalysed hydrolysis ,*Anal.Chim. Acta*,484(2), 223-231,2003.
11. Farajzadeh M. and Mardani A., Analysis of residual solvents in ampicillin powder by headspace spectrophotometric methods ,*Anal. Sci.*, 18(2):171-175,2002.
12. Saleh G.A., Askal H.F.,Radwan M.F.,and Omer M.A., Use of charge- transfer complexation in the spectrophotometric analysis of certain cephalosporins,*Talanta* ,54(6):1205-1215,2001.
13. Bobrowska –Grzesik E.,Determination of amox and clavulanic acid in some pharmaceutical preparation by derivative spectrophotometry ,*Mikrochim.Acta*, 136(1-2):31-34,2001.
14. Prasad B.B. and Arora B.,Application of polymer-modified hanging mercury drop electrode in the indirect determination of certain beta-lactam antibiotics by differential pulse ion –exchange voltammetry, *Electroanalysis*,15(14):1212-1218,2003.
15. Basaez L.,Peric I.,Aguirre C.,and Vanysek P., Electrochemical study of amoxicillin antibiotic across liquid-liquid interface, *Bol.Soc.Chilena Quim.*,46(2):203-208:2001..
16. Storms M. and Stewart J., Development of reversed-phase

The use of ultra-violet visible spectroscopy to determination some antibiotics beta-lactam in some drugs

Fahdil J. Muhammed* Muna M. Khudhair** Kais M. Ali**
Nedhal A. Essa** Entesar K. Mansi** Ammar Salimman**
Ahmed Mose**

* Ministry of Higher Education & Scientific Research, Baghdad University, College of Science, Department of Chemistry

** Ministry of Sciences and Technology, Directorate of Chemistry petrochemical industries.

Abstract:

This research aims to use chemical reaction to determine some of beta lactam antibiotics which include cephalexin and ceftriaxone in some pharmaceuticals by formation Prussian Blue complexes and using them for the UV-Vis., determination of drugs at wavelengths range (700- 720)nm by reaction them with FeCl_3 in the presence of reagent $\text{K}_3[\text{Fe}(\text{CN})_6]$ in acid media .

The optimal experimental conditions for the complex formation have been studied such as volume of HCl , $\text{K}_3[\text{Fe}(\text{CN})_6]$, FeCl_3 ,temperature and reaction time .Analytical figures of merits obtained on applying the developed procedure for cephalexin and ceftriaxone resp. are Linearity,(2-10),(1-7) $\mu\text{g.ml}^{-1}$ LOD(0.0601,0.0330) $\mu\text{g.ml}^{-1}$.

The developed procedure has been successfully applied to the determination of the antibiotics Cephalexin and Ceftriaxone in pharmaceutical preparations , Cephalexin and Gramocef using direct and standard additions method.

The analytical results match well with the drug contents as indicated by recovery percent had been found as follows (103.50%,93.27%).) for cephalexin, and ceftriaxone resp..